

Starkniederschlagshöhen und -spenden gemäß KOSTRA-DWD-2020

Rasterfeld 124207

(Zeile 124, Spalte 207)

Regenspende und Bemessungsniederschlagswerte in Abhängigkeit von Wiederkehrzeit T und Dauerstufe D

| Dauerstufe D | | Wiederkehrzeit T | | | | | | | | | | | | | | | | | |
|--------------|-----|------------------|------------|------|------------|------|------------|------|------------|-------|------------|-------|------------|-------|------------|-------|------------|-------|------------|
| | | 1 a | | 2 a | | 3 a | | 5 a | | 10 a | | 20 a | | 30 a | | 50 a | | 100 a | |
| min | Std | mm | l / (s ha) | mm | l / (s ha) | mm | l / (s ha) | mm | l / (s ha) | mm | l / (s ha) | mm | l / (s ha) | mm | l / (s ha) | mm | l / (s ha) | mm | l / (s ha) |
| 5 | | 6,6 | 220,0 | 8,4 | 280,0 | 9,5 | 316,7 | 11,0 | 366,7 | 13,1 | 436,7 | 15,2 | 506,7 | 16,6 | 553,3 | 18,5 | 616,7 | 21,1 | 703,3 |
| 10 | | 8,8 | 146,7 | 11,1 | 185,0 | 12,6 | 210,0 | 14,5 | 241,7 | 17,3 | 288,3 | 20,1 | 335,0 | 22,0 | 366,7 | 24,4 | 406,7 | 27,9 | 465,0 |
| 15 | | 10,1 | 112,2 | 12,8 | 142,2 | 14,5 | 161,1 | 16,7 | 185,6 | 19,9 | 221,1 | 23,2 | 257,8 | 25,3 | 281,1 | 28,1 | 312,2 | 32,1 | 356,7 |
| 20 | | 11,1 | 92,5 | 14,1 | 117,5 | 15,9 | 132,5 | 18,3 | 152,5 | 21,8 | 181,7 | 25,4 | 211,7 | 27,8 | 231,7 | 30,8 | 256,7 | 35,3 | 294,2 |
| 30 | | 12,5 | 69,4 | 15,9 | 88,3 | 18,0 | 100,0 | 20,7 | 115,0 | 24,7 | 137,2 | 28,7 | 159,4 | 31,4 | 174,4 | 34,9 | 193,9 | 39,9 | 221,7 |
| 45 | | 14,1 | 52,2 | 17,9 | 66,3 | 20,2 | 74,8 | 23,3 | 86,3 | 27,7 | 102,6 | 32,3 | 119,6 | 35,3 | 130,7 | 39,2 | 145,2 | 44,8 | 165,9 |
| 60 | 1 | 15,2 | 42,2 | 19,3 | 53,6 | 21,9 | 60,8 | 25,2 | 70,0 | 30,0 | 83,3 | 34,9 | 96,9 | 38,2 | 106,1 | 42,4 | 117,8 | 48,5 | 134,7 |
| 90 | 1,5 | 17,0 | 31,5 | 21,6 | 40,0 | 24,4 | 45,2 | 28,1 | 52,0 | 33,5 | 62,0 | 39,0 | 72,2 | 42,6 | 78,9 | 47,4 | 87,8 | 54,1 | 100,2 |
| 120 | 2 | 18,4 | 25,6 | 23,3 | 32,4 | 26,4 | 36,7 | 30,4 | 42,2 | 36,1 | 50,1 | 42,1 | 58,5 | 46,0 | 63,9 | 51,1 | 71,0 | 58,4 | 81,1 |
| 180 | 3 | 20,4 | 18,9 | 25,9 | 24,0 | 29,3 | 27,1 | 33,8 | 31,3 | 40,2 | 37,2 | 46,8 | 43,3 | 51,2 | 47,4 | 56,9 | 52,7 | 65,0 | 60,2 |
| 240 | 4 | 22,0 | 15,3 | 27,9 | 19,4 | 31,6 | 21,9 | 36,4 | 25,3 | 43,3 | 30,1 | 50,5 | 35,1 | 55,1 | 38,3 | 61,3 | 42,6 | 70,1 | 48,7 |
| 360 | 6 | 24,5 | 11,3 | 31,0 | 14,4 | 35,1 | 16,3 | 40,4 | 18,7 | 48,1 | 22,3 | 56,0 | 25,9 | 61,2 | 28,3 | 68,0 | 31,5 | 77,8 | 36,0 |
| 540 | 9 | 27,1 | 8,4 | 34,4 | 10,6 | 38,9 | 12,0 | 44,8 | 13,8 | 53,4 | 16,5 | 62,2 | 19,2 | 68,0 | 21,0 | 75,5 | 23,3 | 86,3 | 26,6 |
| 720 | 12 | 29,2 | 6,8 | 37,0 | 8,6 | 41,9 | 9,7 | 48,3 | 11,2 | 57,5 | 13,3 | 66,9 | 15,5 | 73,1 | 16,9 | 81,3 | 18,8 | 92,9 | 21,5 |
| 1080 | 18 | 32,4 | 5,0 | 41,1 | 6,3 | 46,5 | 7,2 | 53,5 | 8,3 | 63,7 | 9,8 | 74,2 | 11,5 | 81,1 | 12,5 | 90,1 | 13,9 | 103,0 | 15,9 |
| 1440 | 24 | 34,9 | 4,0 | 44,2 | 5,1 | 50,0 | 5,8 | 57,6 | 6,7 | 68,6 | 7,9 | 79,9 | 9,2 | 87,3 | 10,1 | 97,0 | 11,2 | 110,9 | 12,8 |
| 2880 | 48 | 41,6 | 2,4 | 52,7 | 3,0 | 59,6 | 3,4 | 68,7 | 4,0 | 81,8 | 4,7 | 95,3 | 5,5 | 104,1 | 6,0 | 115,7 | 6,7 | 132,3 | 7,7 |
| 4320 | 72 | 46,1 | 1,8 | 58,5 | 2,3 | 66,1 | 2,6 | 76,2 | 2,9 | 90,7 | 3,5 | 105,6 | 4,1 | 115,4 | 4,5 | 128,2 | 4,9 | 146,6 | 5,7 |
| 5760 | 96 | 49,6 | 1,4 | 62,9 | 1,8 | 71,1 | 2,1 | 82,0 | 2,4 | 97,5 | 2,8 | 113,6 | 3,3 | 124,2 | 3,6 | 138,0 | 4,0 | 157,7 | 4,6 |
| 7200 | 120 | 52,5 | 1,2 | 66,6 | 1,5 | 75,3 | 1,7 | 86,7 | 2,0 | 103,2 | 2,4 | 120,3 | 2,8 | 131,4 | 3,0 | 146,0 | 3,4 | 166,9 | 3,9 |
| 8640 | 144 | 55,0 | 1,1 | 69,7 | 1,3 | 78,8 | 1,5 | 90,8 | 1,8 | 108,1 | 2,1 | 126,0 | 2,4 | 137,6 | 2,7 | 152,9 | 2,9 | 174,8 | 3,4 |
| 10080 | 168 | 57,1 | 0,9 | 72,5 | 1,2 | 82,0 | 1,4 | 94,5 | 1,6 | 112,4 | 1,9 | 131,0 | 2,2 | 143,1 | 2,4 | 159,0 | 2,6 | 181,8 | 3,0 |

Starkniederschlagshöhen und -spenden gemäß KOSTRA-DWD-2020

Rasterfeld 124207

(Zeile 124, Spalte 207)

Örtliche Unsicherheiten in Abhängigkeit von Wiederkehrzeit T und Dauerstufe D

| Dauerstufe D | | Wiederkehrzeit T | | | | | | | | |
|--------------|-----|------------------|-----|-----|-----|------|------|------|------|-------|
| | | 1 a | 2 a | 3 a | 5 a | 10 a | 20 a | 30 a | 50 a | 100 a |
| min | Std | ± % | ± % | ± % | ± % | ± % | ± % | ± % | ± % | ± % |
| 5 | | 13 | 13 | 14 | 14 | 15 | 16 | 16 | 17 | 17 |
| 10 | | 14 | 16 | 17 | 18 | 19 | 20 | 21 | 21 | 22 |
| 15 | | 16 | 18 | 19 | 20 | 22 | 23 | 23 | 24 | 24 |
| 20 | | 17 | 19 | 20 | 22 | 23 | 24 | 24 | 25 | 26 |
| 30 | | 18 | 20 | 22 | 23 | 24 | 25 | 26 | 26 | 27 |
| 45 | | 18 | 21 | 22 | 23 | 25 | 26 | 26 | 27 | 27 |
| 60 | 1 | 18 | 21 | 22 | 23 | 24 | 25 | 26 | 27 | 27 |
| 90 | 1,5 | 18 | 20 | 21 | 23 | 24 | 25 | 25 | 26 | 27 |
| 120 | 2 | 17 | 20 | 21 | 22 | 23 | 24 | 25 | 25 | 26 |
| 180 | 3 | 16 | 18 | 20 | 21 | 22 | 23 | 24 | 24 | 25 |
| 240 | 4 | 16 | 18 | 19 | 20 | 21 | 22 | 23 | 23 | 24 |
| 360 | 6 | 15 | 17 | 18 | 19 | 20 | 21 | 22 | 22 | 23 |
| 540 | 9 | 14 | 16 | 17 | 18 | 19 | 20 | 20 | 21 | 22 |
| 720 | 12 | 14 | 16 | 16 | 17 | 18 | 19 | 20 | 20 | 21 |
| 1080 | 18 | 14 | 15 | 16 | 17 | 18 | 19 | 19 | 19 | 20 |
| 1440 | 24 | 15 | 16 | 16 | 17 | 18 | 18 | 19 | 19 | 20 |
| 2880 | 48 | 17 | 17 | 17 | 17 | 18 | 18 | 18 | 19 | 19 |
| 4320 | 72 | 18 | 18 | 18 | 18 | 18 | 19 | 19 | 19 | 19 |
| 5760 | 96 | 20 | 19 | 19 | 19 | 19 | 19 | 19 | 20 | 20 |
| 7200 | 120 | 21 | 20 | 20 | 20 | 20 | 20 | 20 | 20 | 20 |
| 8640 | 144 | 22 | 21 | 20 | 20 | 20 | 20 | 20 | 21 | 21 |
| 10080 | 168 | 22 | 21 | 21 | 21 | 21 | 21 | 21 | 21 | 21 |

Parameter für abweichende T und D

Lokationsparameter ξ (Xi)

15,58553162

Skalenparameter α (Alpha)

5,8142573

Formparameter κ (Kappa)

-0,1

1. Koutsoyiannis-Parameter θ (Theta)

0,02868628

2. Koutsoyiannis-Parameter η (Eta)

0,74625322

Parameter für dauerstufenübergreifende Extremwertschätzung nach KOUTSOYIANNIS et al. 1998.

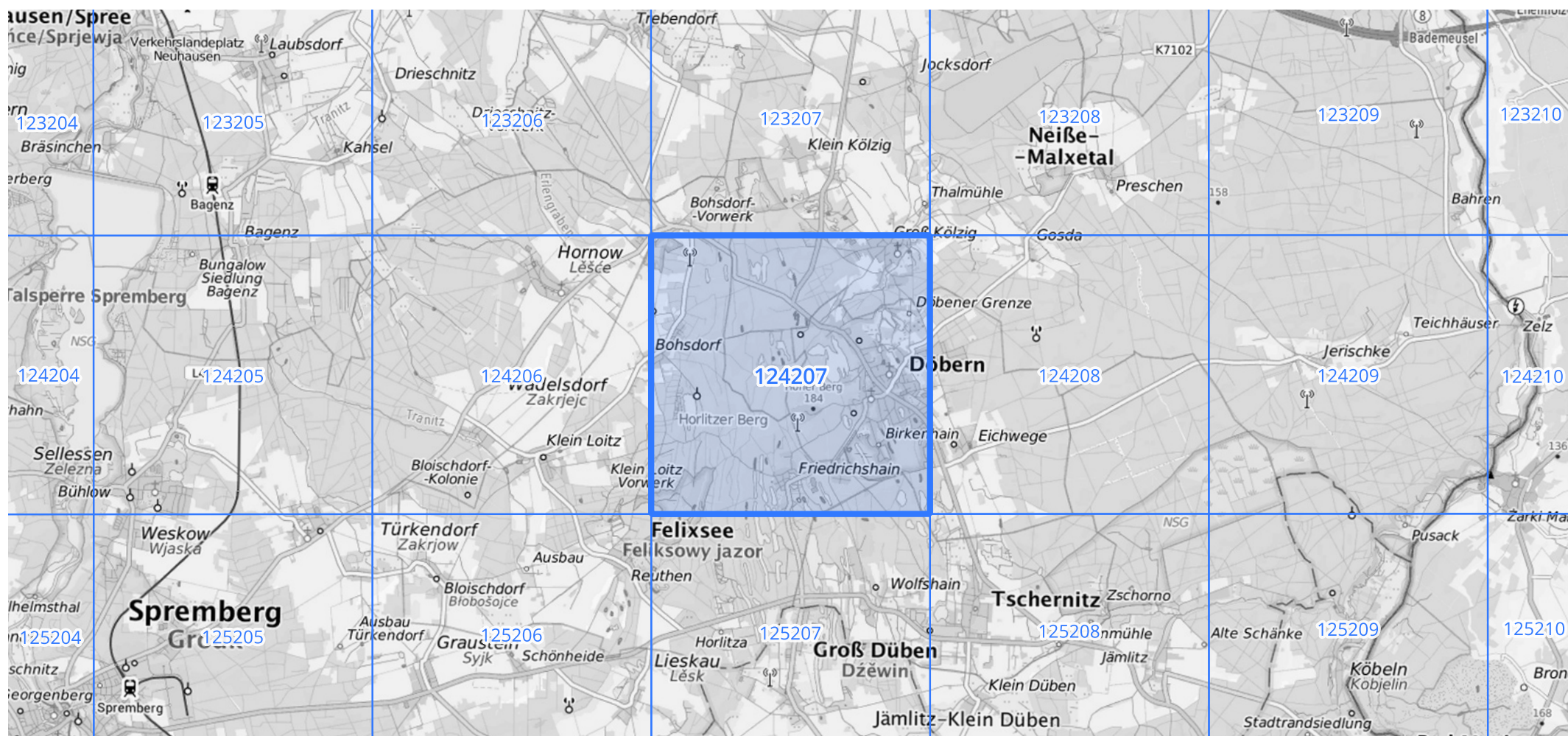
Siehe auch Anwendungshilfe zu KOSTRA-DWD-2020 des Deutschen Wetterdienstes.

Starkniederschlagshöhen und -spenden gemäß KOSTRA-DWD-2020

Rasterfeld 124207

(Zeile 124, Spalte 207)

Übersichtskarte des Rasterfeldes 124207, M 1 : 100 000



Quelle Rasterdaten: KOSTRA-DWD-2020 des Deutschen Wetterdienstes, Stand 12/2022.

Seite 3 von 3

Kartendarstellung: © Bundesamt für Kartographie und Geodäsie (2023), Datenquellen: https://sgx.geodatenzentrum.de/web_public/gdz/datenquellen/Datenquellen_TopPlusOpen.html

Für die Richtigkeit und Aktualität der Angaben wird keine Gewähr übernommen. Erstellt 01/2023.